

Корреляции в основном состоянии в ядрах

С. П. Камерджи́ев,^{1,*} М. И. Шитов^{1,†}¹ *Национальный исследовательский центр «Курчатовский институт» (НИЦ «КИ»)**Россия, 123182, Москва, пл. Академика Курчатова, д. 1*

(Поступила в редакцию 09.02.2023; после доработки 28.02.2023; принята к публикации 07.03.2023)

В работе обсуждаются корреляции в основном состоянии (КОС) в ядрах, которые особенно наглядно проявляются при использовании формализма квантовых функций Грина (ФГ) и диаграмм Фейнмана. Кроме одночастично-однодырочных КОС, появляющихся в хорошо известном методе хаотических фаз (МХФ), существуют и дают заметный количественный вклад КОС, происходящие от использования в теории более сложных, чем в МХФ, конфигураций. Именно конфигураций, содержащих фононы, и конфигураций, содержащих только три квазичастицы, соответственно КОС-фон и КОСЗ. Этот последний случай КОСЗ подробно рассматривается в настоящей работе. Показано, что КОСЗ дают значительный количественный вклад в задачах, связанных с объяснением некоторых характеристик низколежащих возбужденных состояний (фононов) и переходов между ними в четно-четных ядрах.

PACS: 21.60.Ev, 24.10.Cn. УДК: 539.1.

Ключевые слова: корреляции в основном состоянии, функции Грина, диаграммы Фейнмана, квазичастично-фононное взаимодействие, $E1$ -переходы между возбужденными состояниями.DOI: [10.55959/MSU0579-9392.78.2330207](https://doi.org/10.55959/MSU0579-9392.78.2330207)

ВВЕДЕНИЕ

Эта работа посвящается теоретикам НИИЯФ МГУ В.Г. Неудачину, Ю.Ф. Смирнову, Н.П. Юдину, от которых один из авторов (С.К.) впервые услышал слова «графики, идущие назад».

По-видимому, наиболее наглядно и полно корреляции в основном состоянии, или «графики, идущие назад», проявляются в рамках метода квантовых функций Грина [1] и, следовательно, диаграмм Фейнмана, которые уже исходно содержат два слагаемых («вперед» и «назад» во временном представлении).

КОС уже давно обсуждаются в литературе по теории ядра. Хорошо известны КОС в рамках стандартного метода хаотических фаз и квазичастичного МХФ (КМХФ). КОС в подходах МХФ и КМХФ содержатся в ядре соответствующего интегрального уравнения, при решении которого возникают многочастичные КОС благодаря двухчастичному взаимодействию между нуклонами ядра. Они автоматически учитываются в решении интегрального уравнения. Обычно их количественный вклад невелик [2, 3] в сферических и деформированных ядрах.

Этот вопрос заметно актуализировался в связи с появлением КОС, в которые включены фононы ядра (КОС-фон), т.е. при учете квазичастично-фононного взаимодействия [4–8].¹ Здесь

КОС-фон появляются через решение соответствующих интегральных уравнений, включающих фононы и содержащих существенно новые и сложные дополнительные слагаемые по сравнению с уравнениями МХФ или КМХФ. Количественная роль этих КОС заметна и требует специального анализа [4, 6].

Относительно недавно были рассмотрены на самосогласованном уровне так называемые трех-[9] и четырех-квазичастичные [10] КОСЗ и КОС4, которые появляются от интегрирования трех и четырех одночастичных ФГ G и не содержат фононов. В отличие от КОС МХФ и КОС-фона они не входят в ядро интегрального уравнения и, что весьма интересно, зависят от энергии перехода ω .

В настоящей работе обсуждается в основном этот новый вид КОС, которые мы назвали КОСЗ.

1. КОС В МЕТОДЕ ФУНКЦИЙ ГРИНА

Как уже говорилось, наиболее наглядно и полно КОС проявляются в рамках метода ФГ и, следовательно, диаграмм Фейнмана. В одночастичном и однофононном приближении одночастичные (в ядрах без спаривания) и однофононная ФГ G и D имеют

* E-mail: kaev@obninsk.com† E-mail: schitov.mih@mail.ru¹ Под фононами мы понимаем связанные частицы и дырки,

т.е. решения МХФ- или КМХФ-уравнений. Они хорошо известны и наблюдаются экспериментально.

вид:

$$G_1(\varepsilon) \equiv G_1^p + G_1^h = \frac{(1 - n_1)}{\varepsilon - \varepsilon_1 + i\gamma} + \frac{n_1}{\varepsilon - \varepsilon_1 - i\gamma},$$

$$D_s(\omega) = D^+ + D^- = \frac{1}{\omega - \omega_s + i\gamma} - \frac{1}{\omega + \omega_s - i\gamma}. \quad (1)$$

Здесь и в дальнейшем нижние индексы означают набор квантовых чисел: одночастичные для сферических ядер $1 \equiv \lambda_1 \equiv (n_1, j_1, l_1, m_1)$, s — квантовые числа фононов, ε_1 и ω_s — энергии квазичастиц и фононов, n_1 — одночастичные числа заполнения ($n_1 = 1$ для дырки, $n_1 = 0$ для квазичастицы). Второе слагаемое в ФГ G (1) описывает дырочную часть G^h и соответствует «графикам, идущим назад» во временном представлении. Вклад вторых слагаемых в (1) обеспечивает появление разнообразных КОС. С этой точки зрения три вида КОСов, упомянутых во Введении, можно проиллюстрировать диаграммами Фейнмана для магических ядер, показанными для *подынтегральных выражений*, входящих в пропагаторы (2) на рис. 1. Указанные КОС-МХФ и КОС-фон входят в соответствующие интегральные уравнения, в ядре которых, кроме пропагаторов, как правило, содержится двухчастичное взаимодействие между нуклонами. Благодаря этому при итерировании МХФ-уравнения появляются многочастичные КОС. Как известно, если в уравнениях МХФ или КМХФ не учитывать второе слагаемое на рис. 1 для МХФ, получается метод Тамма–Данкова, который не содержит КОС.

$$A_{12}(\omega) = \int (G_1^p G_2^h + G_1^h G_2^p) \frac{d\varepsilon}{2\pi i},$$

$$A_{12s34}(\omega) = \int G_1 G_2 D_s(\omega_1) G_3 G_4 \frac{d\varepsilon d\omega_1}{(2\pi i)^2},$$

$$A_{123}(\omega) = \int (G_1 G_2 G_3) \frac{d\varepsilon}{2\pi i}. \quad (2)$$

2. МХФ И КОС-МХФ

Как правило, мы символически записываем наши формулы, большая часть которых представляется в виде диаграмм Фейнмана, так что окончательные формулы могут быть получены по хорошо известным правилам.

В стандартной Теории конечных ферми-систем (ТКФС) основной величиной в задачах, связанных с взаимодействием ядра и внешнего поля $V^0(\omega)$ с энергией ω , является эффективное поле (вершина) V , описывающее ядерную поляризуемость и удовлетворяющее уравнению в символической форме (для ядер без спаривания) [1]:

$$V(\omega) = e_q V^0(\omega) + F A(\omega) V(\omega), \quad (3)$$

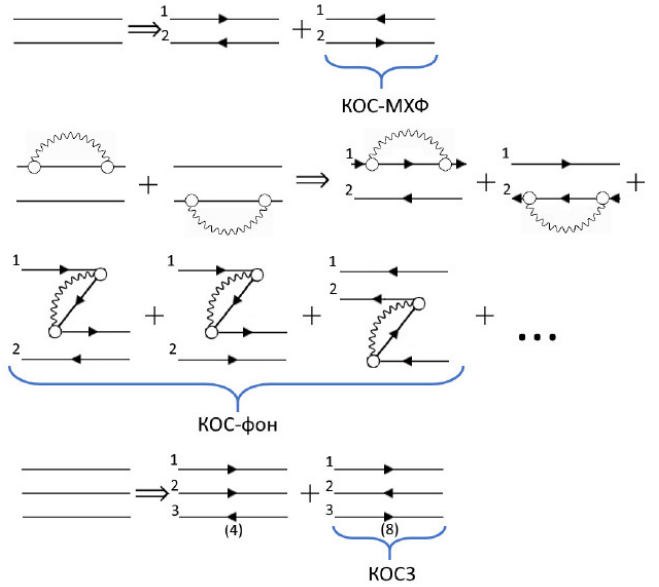


Рис. 1. Иллюстрация появления КОСов, упомянутых во Введении. Слева от двойной стрелки символически показаны подынтегральные выражения для трех пропагаторов A_{12} , A_{12s34} [7] и A_{123} [27], описываемых формулами (2). Двойная стрелка показывает что происходит при подстановке в пропагаторы (2) формулы (1) ($G = G^p + G^h$) для магических ядер, в том числе при учете графиков «идущих назад», т.е. КОС. 1-я линия содержит КОС-МХФ, 2-я и 3-я линии содержат КОС-фон в g^2 -приближении (показаны только графики со вставками, включая КОС-фон), 4-я линия содержит 4 обычных слагаемых и 8 слагаемых КОСЗ (подробнее см. [27])

где e_q — локальный заряд, F — эффективное двухчастичное взаимодействие, A — пропагатор, представляющий собой интеграл от двух ФГ G , см. (2). Уравнение (3) есть уравнение МХФ для ядер без спаривания, записанное на языке ФГ. Оно показано на рис. 2.

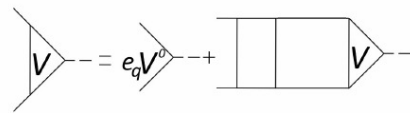


Рис. 2. Уравнение для вершины V

Обычный поляризационный эффективный заряд (не путать с кинематическим $E1$ — зарядом eN/A для протона и $-eZ/A$ для нейтрона) определяется очень просто и естественно как $e_{eff} = V/e_q V_0$ [11]. Соответствующий расчет для ядер «маг ± 1 » показал, что квадрупольный эффективный заряд близок к 2 для протонов и 1 для нейтронов.

Для задач без спаривания в уравнении (3) пропагатор есть интеграл от двух одночастичных ФГ:

$$A_{12}(\omega) = \int G_1(\varepsilon) G_2(\varepsilon - \omega) \frac{d\varepsilon}{2\pi i}, \quad (4)$$

где G_1 представлена в формуле (1).

Уравнение (3) является интегральным уравнением с ядром FA . Физический смысл этого уравнения показан на рис. 3. Видно, что постоянно повторяется во времени процесс рождения одночастично-однодырочной ($1p1h$ -) пары *только* благодаря двухчастичному эффективному взаимодействию F . Именно такое развитие во времени есть суть МХФ. При этом не учитываются два процесса рождения фононов, показанные на рис. 4. Именно:

1. когда в результате первичного акта-рождения $1p1h$ -пары и *после* рождения этой пары в результате взаимодействия F рождается еще $1p1h$ -пара и после этого рождается фонон;
2. когда после первичного акта рождения $1p1h$ пары сразу рождается фонон *еще до* взаимодействия F .

Первый из этих процессов учитывается и обсуждается в следующем разделе. Второй рассматривался в рамках задачи обобщения уравнения (3) для описания пигми-дипольного (ПДР) и гигантских мультипольных резонансов (ГМР), насколько нам известно, только в [12], что привело к существенному обобщению ТКФС.

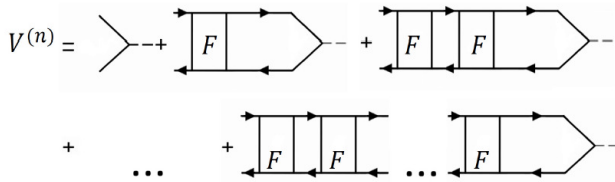


Рис. 3. Физический смысл уравнения МХФ. V^n - n -я итерация уравнения (3)

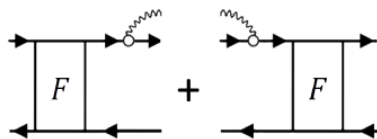


Рис. 4. Дополнительные (после первичного акта-рождения $1p1h$ -пары) процессы, неучтенные в МХФ. См. текст

В рамках самосогласованной ТКФС среднее (самосогласованное) поле ядра определяется через первую вариационную производную энергетического функционала плотности (ЭФП), а эффективное взаимодействие F рассчитывается как вторая вариационная производная ЭФП.

3. КОС-ФОН

Простейшие КОС-фон показаны на рис. 1 (вторая и третья линии).

Первый из вышеупомянутых на рис. 4 неучтенных в МХФ-процессов в формализме ФГ учитывался в уравнении для вершины еще в работе [13]

$$V' = e_q V^0 + F[A + A']V', \quad (5)$$

которое показано на рис. 5. Здесь A — обычный $1p1h$ -пропагатор ТКФС, A' — пропагаторы с g^2 -поправкой со вставками и поперечным фоном и амплитуда рождения фонона g удовлетворяет уравнению [1]

$$g = F + FAg. \quad (6)$$

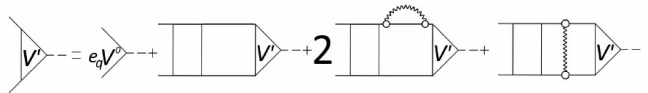


Рис. 5. Уравнение для вершины V' . Последние две диаграммы содержат g^2 -поправки

Для полумагических ядер, в которых (как и для магических ядер) присутствует параметр малости g^2 (квадрат обезразмеренного матричного элемента амплитуды рождения фонона g^2) следует учитывать эффект спаривания.

Метод ФГ активно применялся для описания ПДР и ГМР, как в рамках несамосогласованных [4, 13, 14], так и самосогласованных [15, 16] подходов. Отличие между [13] и [14] состояло в том, что в [14] недостаток метода [13] (появление полюсов второго порядка) был исключен, а именно, был предложен приближенный метод хронологического разделения диаграмм (МХРД) или (используя более современную терминологию) приближение временного блокирования (ПВБ). Указанный недостаток количественно был не важен для объяснения свойств М1-резонанса, находящегося в области энергий ПДР [17, 18]. Позднее этот метод был значительно модифицирован и для задач в ядрах со спариванием был назван квазичастичным ПВБ [19, 20]. Однако главное физическое содержание этого метода, т.е. включение КФВ только в частично-дырочный пропагатор (на языке ТКФС), сохранялось всегда, несмотря на тот факт, что при выводе использовался другой подход, основанный на уравнении Бете–Солпитера и использовался формализм функций отклика.

Количественный вклад КОС-фон для ядер без спаривания специально и довольно подробно изучался в рамках метода ФГ. Эффектным доказательством необходимости включения КОС-фон оказалось объяснение существования изовекторного М1-резонанса в дважды магических ядрах ^{16}O и ^{40}Ca . В 1980–1990 гг., которые называют «временем ренессанса физики гигантских резонансов» и который оформился появлением монографии [21] (см. также [22]), вначале было экспериментально показано, что М1-резонанса в ^{16}O и ^{40}Ca не существует («проблема исчезновения М1-резонанса»).

Однако улучшение экспериментального разрешения показало его существование при энергии около 15 МэВ для ^{16}O и около 10 МэВ для ^{40}Ca , но в более фрагментированном виде, чем ожидалось в рамках МХФ. Это было объяснено количественно именно благодаря эффекту КОС–фон [17, 18]. С использованием вышеуказанного приближения МХРД было также показано, что учет КОС–фон количественно важен для объяснения М1 резонанса в ^{208}Pb , ^{48}Ca , ^{56}Ni . Особенно эффект КОС–фон заметен в области ПДР для E0 и E2 резонансов в этих ядрах: здесь он дает половину или более для правил сумм в этой области энергий. Более подробно см. в [4].

Очевидно, что эффект КОС–фон важен и для ядер со спариванием. Он всегда содержится в расчетах в рамках последовательного формализма ФГ (см., например, [23]).

4. КОСЗ

КОСЗ также показаны на рис. 1 и в формуле (2), четвертая строка. Здесь мы рассмотрим их подробнее.

Для магических ядер КОСЗ были получены давно [24] в рамках весьма сложного подхода, основанного на многочастичных ФГ, и без учета самосогласования рассматривались в работе [25].

В работе [26] был развита элегантная и последовательная теория ангармонических эффектов для ядер без спаривания, основанная на использовании g^2 -приближения. Эти «чистые» (без фононов и вне интегрального уравнения) КОС появились при рассмотрении задачи о статических ($\omega = 0$) квадрупольных моментах в первых однофононных 2^+ [9] и 3^- -состояниях [27] изотопов олова. Было показано, что наблюдаемый эффект есть сумма двух эффектов — «чистых» КОС и ядерной поляризуемости, каждый из которых вносит приблизительно одинаковый вклад. Отсутствие малого g^2 -параметра, как мы увидим, обеспечивает большой количественный вклад наших динамических КОСЗ ($\omega \neq 0$).

Для физически близкой задачи E1-переходов между указанными первыми однофононными 2^+ - и 3^- -состояниями в магических ядрах ^{208}Pb , ^{132}Sn [28] и некоторых изотопов олова [29] были получены похожие результаты, однако наблюдаемый эффект определялся разностью вышеупомянутых двух эффектов. Такие КОС мы называем динамическими КОСЗ (передаваемая энергия $\omega \neq 0$, в отличие от «статического» случая $\omega = 0$). Следует подчеркнуть специфику и важность этого класса задач: ответ пропорционален g^2 , где g — амплитуда рождения фонона. Отметим, что во всех указанных случаях получено разумное согласие с имеющимися экспериментальными данными.

В работе [26], в частности, было получено выражение для матричного элемента, описывающего возбуждение слабым внешним полем V^0 двух фононов с характеристиками s и s' , каждый из которых

описывается строго в рамках МХФ. Это выражение может быть преобразовано к более простому виду (см. например [30]):

$$M_{ss'} = VGGg_s g_{s'} + VGG\delta_s FGGg_{s'}, \quad (7)$$

которое представлено на рис. 6 (как обычно, при написании формул в символическом виде мы опускаем «графики идущие назад»). В работе [9] было показано, что учет слагаемого с $\delta_s F$ оказывает незначительное влияние на величину амплитуды перехода. Потому в дальнейшем мы будем опускать этот член. Тогда в явном виде формула (7) может быть переписана:

$$M_{ss'} = M_{ss'}^{(1)} + M_{ss'}^{(2)} = \Sigma_{123}[V_{12}(g_{31}^s)^* g_{23}^{s'} A_{123}^{(1)} + V_{12}g_{31}^{s'}(g_{23}^s)^* A_{123}^{(2)}]. \quad (8)$$

Здесь и далее для обозначения матричных элементов используется упрощенная запись $\langle 1|V|2\rangle \equiv V_{12}$, $M_{ss'}^{(2)}$ — набор графиков, с развернутыми в обратном (рис. 6) направлении стрелками, V_{12} матричный элемент для вершины, определяемый уравнением ТКФС (3), g_{31}^s и $g_{23}^{s'}$ амплитуды рождения фононов, определяемые уравнением (6), а $A_{123}^{(1)}$ представляет собой пропагатор — интеграл от трех ФГ:

$$A_{123}^{(1)}(\omega_s, \omega_{s'}) = \int G_1(\varepsilon)G_2(\varepsilon + \omega)G_3(\varepsilon + \omega_s)d\varepsilon. \quad (9)$$

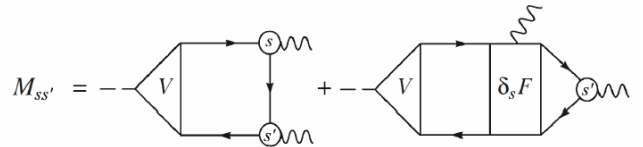


Рис. 6. Матричный элемент амплитуды перехода для случая двух фононов $M_{ss'}$ в магическом ядре. V — вершина, пунктир — внешнее поле с энергией ω , s и s' — фононы, стрелками обозначены одночастичные функции Грина

После отделения угловых переменных, суммирования по магнитным квантовым числам и вычисления всех необходимых интегралов мы получаем следующую формулу для приведенной вероятности перехода между однофононными состояниями $I_s \rightarrow I_{s'}$ с энергией $\omega = \omega_{s'} - \omega_s$:

$$B(EL) = \frac{1}{2I_s + 1} |\langle I_s || M_L || I_{s'} \rangle|^2, \quad (10)$$

где

$$\begin{aligned} \langle I_s || M_L || I_{s'} \rangle &= \\ &= \Sigma_{123} \begin{Bmatrix} I_s & I_{s'} & L \\ j_2 & j_1 & j_3 \end{Bmatrix} V_{12} g_{31}^s g_{23}^{s'} [A_{123}^{(1)}(\omega_s, \omega_{s'}) + \\ &+ A_{123}^{(1)}(-\omega_{s'}, -\omega_s)], \quad (11) \end{aligned}$$

и матричные элементы от V , g^s и $g^{s'}$ здесь — это уже соответствующие приведенные матричные эле-

менты, а сумма пропагаторов описывается следующим выражением:

$$\begin{aligned}
 & A_{123}^{(1)}(\omega_s, \omega_{s'}) + A_{213}^{(1)}(-\omega_{s'}, -\omega_s) = \\
 & = [(1 - n_1)(1 - n_2)n_3 - n_1n_2(1 - n_3)] \times \left[\frac{1}{(\varepsilon_{32} - \omega_{s'}) (\varepsilon_{31} - \omega_s)} + \frac{1}{(\varepsilon_{32} + \omega_{s'}) (\varepsilon_{31} + \omega_s)} \right] + \\
 & + [n_1(1 - n_2)(1 - n_3) - (1 - n_1)n_2n_3] \times \left[\frac{1}{(\varepsilon_{12} - \omega) (\varepsilon_{13} - \omega_s)} + \frac{1}{(\varepsilon_{12} + \omega) (\varepsilon_{13} + \omega_s)} \right] + \\
 & + [(1 - n_1)n_2(1 - n_3) - n_1(1 - n_2)n_3] \times \left[\frac{1}{(\varepsilon_{21} - \omega) (\varepsilon_{23} + \omega_{s'})} + \frac{1}{(\varepsilon_{21} + \omega) (\varepsilon_{23} - \omega_{s'})} \right]. \quad (12)
 \end{aligned}$$

Первая из трех частей этого выражения получается в результате взятия следующих четырех интегралов, которые мы запишем в символическом виде:

$$\begin{aligned}
 & \int [G_1^p G_2^p G_3^h + G_1^h G_2^h G_3^p](\omega_s, \omega_{s'}) d\varepsilon + \\
 & + \int [G_1^p G_2^p G_3^h + G_1^h G_2^h G_3^p](-\omega_{s'}, -\omega_s) d\varepsilon, \quad (13)
 \end{aligned}$$

Эта часть выражения (12) характерна тем, что обе частицы 1, 2 в вершине V_{12} находятся либо выше, либо ниже поверхности Ферми. Для сравнения с обычным МХФ: в формализме метода функций Грина соответствующие интегралы, которые входят в уравнение для вершины V в ТКФС, имеют вид $A_{12} = \int [G_1^p G_2^h + G_1^h G_2^p] d\varepsilon$, т.е. частица и дырка для магических ядер всегда находятся по разные стороны от поверхности Ферми. Указанная часть выражения (12) совпадает с пределом $\Delta_1 = 0$ для одинаковых фононов в формуле (9) работы [31].

Остальные две из трех частей выражения (12) (каждое с квадратной скобкой) получается взятием оставшихся восьми интегралов, в которые G_1 и G_2 из произведений трех функций Грина всегда входят в виде $G_1^p G_2^h$ или $G_1^h G_2^p$, т.е. частицы 1 и 2 находятся по разные стороны от поверхности Ферми:

$$\begin{aligned}
 & \int [G_1^h G_2^p G_3^p + G_1^p G_2^h G_3^p](\omega, \omega_s) d\varepsilon + \\
 & + \int [G_1^h G_2^p G_3^p + G_1^p G_2^h G_3^p](-\omega, -\omega_s) d\varepsilon, \\
 & \int [G_1^p G_2^h G_3^p + G_1^h G_2^p G_3^h](\omega, \omega_{s'}) d\varepsilon + \\
 & + \int [G_1^p G_2^h G_3^p + G_1^h G_2^p G_3^h](-\omega, -\omega_{s'}) d\varepsilon. \quad (14)
 \end{aligned}$$

Эти две оставшиеся части, согласно нашему определению [9], соответствуют графикам «идущим назад» или КОСЗ, они отсутствуют в указанном пределе формулы (9) [31]. Для динамического случая (переданная энергия $\omega \neq 0$) первая часть в (12) не зависит от энергии, тогда как вторая и третья части зависят от ω .

Для полумагических ядер, в которых, как известно, присутствует параметр малости g^2 , следует

учесть эффект спаривания. Это означает, что необходимо дополнить наши уравнения новыми слагаемыми, которые соответствуют графикам, содержащим интегралы от четырех одночастичных ФГ со спариванием G , G^h , $F^{(1)}$, $F^{(2)}$:

$$\begin{aligned}
 G_1(\varepsilon) &= G_1^h(-\varepsilon) = \frac{u_1^2}{\varepsilon - E_1 + i\delta} + \frac{v_1^2}{\varepsilon + E_1 - i\delta}, \\
 F_1^{(1)}(\varepsilon) &= F_1^{(2)}(\varepsilon) = -\frac{\Delta_1}{2E_1} \left[\frac{1}{\varepsilon - E_1 + i\delta} + \frac{1}{\varepsilon + E_1 - i\delta} \right]. \quad (15)
 \end{aligned}$$

Наши расчеты подробно описаны в работах [29, 32], результаты приведены в таблице и на рис. 7. Как видно из них, получено хорошее согласие для величин $B(E1)(3_1^- \rightarrow 2_1^+)$ для всех изотопов за исключением ^{112}Sn и ^{114}Sn . Для оценки влияния отдельных эффектов на рассчитываемую величину в таблице также приведены результаты расчетов без учета эффектов поляризуемости ядра и без учета КОС. Как видно из таблицы, так же, как и в работе [28] для магических ядер, учет поляризуемости уменьшает $B(E1)$ (колонки 2 и 3), но это уменьшение (примерно в 3 раза) не такое большое, как в [28] для магических ядер (там — на порядок величины).

Учет эффектов КОС увеличивает величину $B(E1)$ больше чем на порядок (колонки 2 и 4), в то время как учет эффектов поляризуемости уменьшает ее почти на порядок (колонки 4 и 5) и приводит к хорошему согласию с экспериментом. Сложность теоретического изучения $E1$ переходов между однофононными состояниями связана с тем, что амплитуда этих переходов определяется разностью двух больших чисел, характеризующих два разных физических эффекта: поляризуемость ядра и корреляции в основном состоянии. Кроме того, в расчетах этой амплитуды важна самосогласованность расчетной схемы, в которой все величины — как характеристики фононов, так и вероятности $E1$ -переходов между фононами — рассчитываются с использованием одного и того же энергетического функционала плотности. Таким образом, хорошее согласие с экспериментом для $E1$ -переходов получено за счет разности двух больших эффектов, что подчеркивает важность используемой самосогласованной схемы. Этот факт проиллюстрирован

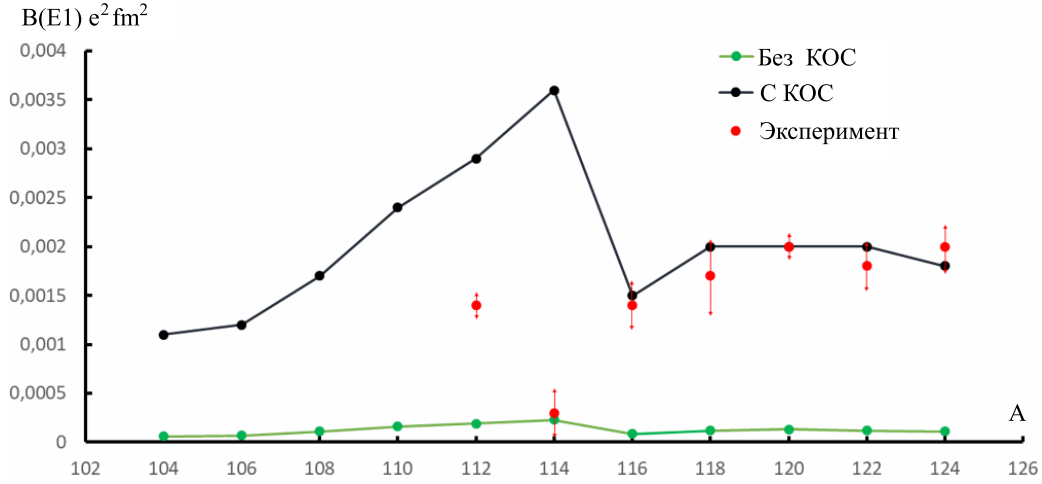


Рис. 7. Приведенные вероятности перехода между однофононными состояниями $B(E1)(3_1^- \rightarrow 2_1^+)$, $e^2\text{fm}^2$. Показаны результаты расчета [32] без КОС3 и с КОС3. Экспериментальные данные [33, 34]

Таблица. Приведенные вероятности перехода между первыми 3^- - и 2^+ -фононами $B(E1)$, $e^2\text{fm}^2$, для изотопов олова (в колонке 2 приведены результаты расчетов без учета поляризуемости и без КОС; в колонке 3 — с поляризуемостью, но без КОС; в колонке 4 — без поляризуемости, но с КОС; в колонке 5 — окончательные результаты с поляризуемостью и КОС; в колонке 6 — эксперимент)

1	2	3	4	5	6
Ядро	$V = e_q V^{(0)}$ КОС = 0	$V = V_{\text{pol.}}$ КОС = 0	$V = e_q V^{(0)}$ КОС \neq 0	$V = V_{\text{pol.}}$ КОС \neq 0	Эксп.
^{124}Sn	0.0004	0.0001	0.0078	0.0018	0.0020 ± 0.0002
^{122}Sn	0.0005	0.0001	0.0090	0.0020	0.0018 ± 0.0002
^{120}Sn	0.0004	0.0001	0.0094	0.0020	0.0020 ± 0.0001
^{118}Sn	0.0004	0.0001	0.0093	0.0020	0.0017 ± 0.0004
^{116}Sn	0.0003	0.0001	0.0065	0.0015	0.0014 ± 0.0002
^{114}Sn	0.0009	0.0002	0.0186	0.0036	0.0003 ± 0.0002
^{112}Sn	0.0006	0.0002	0.0142	0.0028	0.0014 ± 0.0001
^{110}Sn	0.0004	0.0002	0.0097	0.0023	-
^{108}Sn	0.0003	0.0001	0.0054	0.0013	-
^{106}Sn	0.0002	0.0001	0.0022	0.0006	-
^{104}Sn	0.0001	0.0001	0.0015	0.0003	-

на рис. 7, из которого хорошо видно, что учет вклада КОС является совершенно обязательным для объяснения эксперимента в ядрах $^{116-124}\text{Sn}$.

Возможно, что причиной указанного расхождения с экспериментом может быть деформация нейтронно-дефицитных изотопов ^{112}Sn и ^{114}Sn в основном или возбужденном состояниях. Этот эффект — «сосуществование форм» — наблюдается и обсуждается в современных экспериментальных работах (см. например, недавний выпуск Phys. Rev. C **106**, (2022)). Однако нельзя исключить и более простую причину расхождения с экспериментом, например, вклад ложной дипольной моды в амплитуду

ду $E1$ переходов, величина которого в нашей работе не анализировалась.

ЗАКЛЮЧЕНИЕ

В работе обсуждались КОС трех видов: КОС-МХФ, КОС-фон и в основном своеобразные КОС3, которые не содержат фононов и не входят в интегральное уравнение.

КОС-фон дают заметный количественный вклад в характеристики ПДР и ГМР. Представляет большой интерес изучить роль КОС-фон и в других за-

дачах, прежде всего связанных с подавлением одночастичной силы в реакциях переноса в ядрах со спариванием и с учетом квазичастично-фононного взаимодействия. Точнее, необходимо выполнить расчеты эффектов связи с фононами в спаривательной щели и в спектроскопических факторах исходя из одночастичной схемы, полученной с энергетическим функционалом плотности. Актуальность такой задачи, по нашему мнению, отчетливо видна из результатов недавнего обзора «Подавление одночастичной силы в прямых реакциях» [35].

Учет КОСЗ принципиально необходим для объяснения квадрупольных моментов однофононных состояний во всех изученных нами четно-четных полумагических ядрах, а также вероятностей $E1$ -переходов между первыми 2^+ и 3^- состояниями в изотопах $^{116-124}\text{Sn}$. Следует подчеркнуть важность использования самосогласованной расчетной схемы. В отличие от работ [31, 36], где характеристики фононов подгонялись под эксперимент,

в наших расчетах характеристики фононов и вероятности $E1$ переходов между ними рассчитывались в рамках самосогласованной схемы с известным функционалом Фаянса.

При этом остается место для изучения других КОС, происходящих от сложных конфигураций, например КОС4 [10] и КОС, вызванных двумя фононами, которые должны возникать с появлением знаменателей вида $[\omega + (\omega_{s_1} + \omega_{s_2})]^{-1}$ в соответствующем дисперсионном уравнении. Вопрос о КОС-2фон обсуждался еще в [37], однако насколько нам известно, соответствующий специальный анализ не выполнялся. Отметим, что слагаемые с этими знаменателями учитываются в подходе, развитом в [38], но их специальная роль не обсуждалась. В более общем подходе, развитом в [39], они должны быть, но специально не рассматривались из-за громоздкости полученных формул.

Работа поддержана внутренним грантом Национального исследовательского центра «Курчатовский институт» (приказ №2767 от 28.10.21).

- [1] Мигдал А.Б. // Теория конечных ферми-систем и свойства атомных ядер. М.: Наука, 1965.
- [2] Соловьев В.Г. // Теория атомного ядра: квазичастицы и фононы. М.: Энергоатомиздат, 1989.
- [3] Lenske H., Wambach J. // *Phys. Lett. B.* **249**, N 3–4. 377. (1990).
- [4] Kamerzhiev S., Speth J., Tertychny G. // *Phys. Rep.* **393**, N 1. 1. (2004).
- [5] Камерджиев П., Ачаковский О.И., Толоконников В., Шитов М.И. // *ЯФ.* **82**, № 4. 320. (2019).
- [6] Tselyaev V. // *Phys. Rev. C.* **75**, N 2. 024306. (2007).
- [7] Kamerzhiev S.P., Shitov M.I. // *The Eur. Phys. J. A.* **56**, N 10. 265. (2020).
- [8] Воронов В.В., Караджов В., Катара Ф., Северюхин А.П. // *ЭЧАЯ.* **31**. 905. (2000).
- [9] Voitenkov D., Kamerzhiev S., Krewald S. et al. // *Phys. Rev. C.* **85**, N 5. 054319. (2012).
- [10] Камерджиев П., Шитов М.И. // *Письма в ЖЭТФ.* **109**, № 1. 65. (2019).
- [11] Камерджиев П. // *ЯФ.* **2**, № 2. 415. (1965).
- [12] Kamerzhiev S.P., Shitov M.I. // *Phys. At. Nucl.* **84**, N 6. 804. (2021).
- [13] Камерджиев П. // *ЯФ.* **38**. 316. (1983).
- [14] Целяев В.И. // *ЯФ.* **50**. 1252. (1989).
- [15] Tselyaev V.I. // *Phys. Rev. C.* **75**, N 2. 024306. (2007).
- [16] Avdeenkov A., Goriely S., Kamerzhiev S., Krewald S. // *Phys. Rev. C.* **83**, N 6. 064316. (2011).
- [17] Kamerzhiev S.P., Tkachev V.N. // *Phys. Lett.* **142**, N 4. 225. (1984).
- [18] Kamerzhiev S.P., Tkachev V.N. // *Z. Phys. A.* **334**, N 1. 19. (1989).
- [19] Tselyaev V., Lyutorovich N., Speth J., Reinhard P.-G. // *Phys. Rev. C.* (2018). **97**, N 4. 044308.
- [20] Litvinova E., Schuck P. // *Phys. Rev. C.* **100**, N 6. 064320. (2019).
- [21] Harakeh M. N., van der Woude A. // *Giant Resonances: Fundamental High-Frequency Modes of Nuclear Excitation.* Oxford Univ. Press, Oxford, 2001).
- [22] Kapitonov I. M. // *Physics-Uspekhi.* **64**, N 2. 141. (2021).
- [23] Avdeenkov A. V., Kamerzhiev S. P. // *Phys. Lett. B.* **459**, N 10. 423. (1999).
- [24] Speth J. // *Z. Phys. A.* **239**, N 3. 249. (1970).
- [25] Ring P., Speth J. // *Nucl. Phys. A.* **235**, N 2. 315. (1974).
- [26] Ходель В. А. // *ЯФ.* **24**. 367. (1976).
- [27] Камерджиев П., Войтенков Д. А., Саперштейн Э. Е., Толоконников В. // *Письма в ЖЭТФ.* **108**, № 3. 155. (2018).
- [28] Камерджиев П., Войтенков Д. А., Саперштейн Э. Е. и др. // *Письма в ЖЭТФ.* **106**, № 3. 132. (2017).
- [29] Шитов М. И., Войтенков Д. А., Камерджиев П., Толоконников В. // *ЯФ.* **85**, № 5. 45. (2022).
- [30] Камерджиев П., Авдеенков А. В., Войтенков Д. А. // *ЯФ.* **74**. 1509. (2011).
- [31] Pononarev V. Yu., Stoyanov Ch., Tsoneva N., Grinberg M. // *Nucl. Phys. A.* **635**, N 4. 470. (1998).
- [32] Шитов М. И., Камерджиев П., Толоконников В. // *Письма в ЖЭТФ.* **117**, №1. 3. (2023).
- [33] <https://www.nndc.bnl.gov/ensdf>
- [34] Говор Л. И., Демидов А. М., Журавлев О. К. и др. // *ЯФ.* **54**. 330. (1991).
- [35] Aumann T., Barbieri C., Bazin D. et al. // *Progr. Part. Nucl. Phys.* **118**. 103847. (2021).
- [36] Tsoneva N., Lenske H., Stoyanov C. // *Phys. Lett. B.* **586**. 213. (2004).
- [37] Камерджиев П., Ткачев В.Н. // *ЯФ.* **36**. С. 73. (1982).
- [38] Litvinova E., Ring P., Tselyaev V. // *Phys. Rev. C.* **88**. 044320. (2013).
- [39] Камерджиев С.П., Шитов М.И. // *ЯФ.* **84**. С. 804. (2021).

Nuclear Ground State Correlations

S.P. Kamerdzhiev^a, M.I. Shitov^b

National Research Center Kurchatov Institute Moscow 123182, Russia

E-mail: ^akaev@obninsk.com, ^bschitov.mih@mail.ru

The article discusses nuclear ground state correlations (GSCs), which are particularly clearly manifested when using the formalism of quantum Green's functions (GFs) and Feynman diagrams. In addition to the one-particle-one-hole ground state correlations in the well-known random phase approximation (RPA) method, there also exist and make a noticeable quantitative contribution GSCs that arise from using more complex configurations than in RPA, specifically, configurations containing phonons and those containing only three quasiparticles, phonon-GSCs and GSC3s, respectively. The latter case of GSC3 is discussed in detail in this paper. It has been shown that GSC3s make a significant quantitative contribution to problems related to explaining certain characteristics of low-lying excited states (phonons) and transitions between them in even-even nuclei.

PACS: 21.60.Ev, 24.10.Cn

Keywords: ground state correlations, Green's functions, Feynman diagrams, quasiparticle-phonon interaction, *E1*-transitions between excited states.

Received 09 February 2023.

English version: *Moscow University Physics Bulletin*. 2023. **78**, No. 3. Pp. 316–323.

Сведения об авторах

1. Камерджи́ев Серге́й Па́влович — доктор физ.-мат. наук, профессор; e-mail: kaev@obninsk.com.
2. Ши́тов Михаи́л Иго́ревич — канд. физ.-мат. наук; e-mail: schitov.mih@mail.ru.